

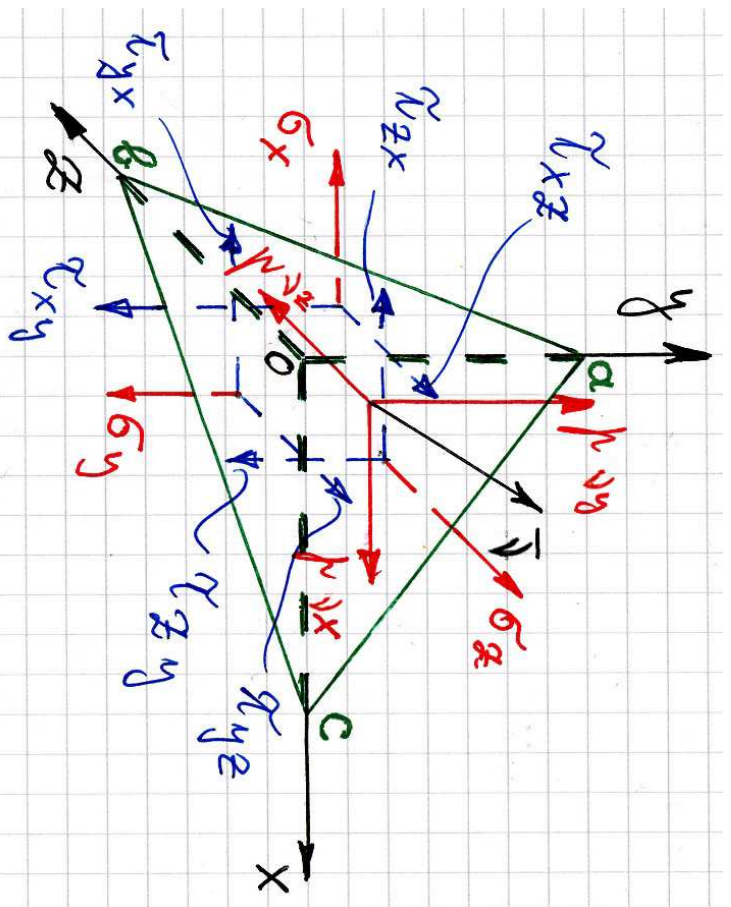
Peatükk 4

Peapinged ja peadeformatsioonid

4.1. Pinged kaldpinnal

4 - 2

4.1 Pinged kaldpinnal



Joonis 4.1: Pinged kaldpinnal. Kaldpinnal normaaliga ν mõjuv pingevektor \mathbf{p} , on esitatud läbi tema projektsioonide p_{vx} , p_{vy} ja p_{vz} .

Selleks, et uurida pingeseisundit suvalises keha punktis on vaja osata leida pingeid meelevaldse orientatsiooniga kaldpinnal. Joonisel 4.1 kujutatud kaldpinnal abc orientatsioon koordinaattelgede suhtes on määratud pinnanormaali $\boldsymbol{\nu}$ suuna-koosinnustega

$$l = \cos(\boldsymbol{\nu}, x), \quad m = \cos(\boldsymbol{\nu}, y), \quad n = \cos(\boldsymbol{\nu}, z). \quad (4.1)$$

Koos koordinaatpindadega moodustub lõpmta väike tetraeeder $Oabc$. Tähistame kaldpinnal abc pindala dA . Tetraeedri teiste külgede pindalad avalduvad nüüd läbi vektori $\boldsymbol{\nu}$ suunakoosinnuste¹:

$$A_{Oab} = dA \cdot l, \quad A_{Obc} = dA \cdot m, \quad A_{Oac} = dA \cdot n. \quad (4.2)$$

Koostame tetraeedri jaoks tasakaalu võrrandid. Peale joonisel 4.1 näidatud pingete mõjuvad tetraeedrile veel mahujõud X, Y, Z , mida pole joonisel näidatud. Projekteerime tetraeedrile mõjuvad jõud x -teljele:

$$\begin{aligned} p_{\nu x} dA - \sigma_x A_{Oab} - \tau_{yx} A_{Obc} - \tau_{zx} A_{Oac} - X dV = \\ p_{\nu x} dA - \sigma_x dA \cdot l - \tau_{yx} dA \cdot m - \tau_{zx} dA \cdot n - X dV = 0. \end{aligned} \quad (4.3)$$

¹Nurgad tetraeedri tahkude ja vastavate normaalide vahel on võrdsed.

4.1. Pinged kaldpinnal

4 - 4

Jagame viimase avaldise pindalaga dA , hülgame viimase liikme kui kõrgemat järku väikese² ja saame avaldise

$$p_{\nu x} = \sigma_x l + \tau_{yx} m + \tau_{zx} n. \quad (4.4)$$

Korrates sama protseduuri teiste telgedega saame avaldised ping vektori \mathbf{p}_ν tilejäänud kahe projektsiooni leidmiseks. Kokku saame

$$\begin{cases} p_{\nu x} = \sigma_x l + \tau_{yx} m + \tau_{zx} n, \\ p_{\nu y} = \tau_{xy} l + \sigma_y m + \tau_{zy} n, \\ p_{\nu z} = \tau_{xz} l + \tau_{yz} m + \sigma_z n. \end{cases} \quad (4.5)$$

Valemid (4.5) võimaldavad leida mistahes kaldpinnal mõjuva ping vektori \mathbf{p}_ν komponente kui on teada pinnanormaal $\boldsymbol{\nu}$ ja pingekomponendid koordinaatpindadel $\sigma_x, \dots, \tau_{xy}, \dots$, st. pingetensori komponendid.

Kui pinnanormaal $\boldsymbol{\nu} = (l_1, m_1, n_1)$ on nn. reavektor ja pingetensor on tähistatud \mathbf{S} , siis vaame valemid (4.5) esitada kujul

$$\mathbf{p} = \boldsymbol{\nu} \cdot \mathbf{S}. \quad (4.6)$$

² $\lim_{dA \rightarrow 0} (dV/dA) = 0$

Kui pind abc tihtib keha välispinnaga, siis esitavad võrrandid (4.5) *rajatingimusi ehk ääretingimusi keha pinnal*. Teisisõnu, sellisel juhul seovad avaldised (4.5) keha pinnal mõjuvad pindjõud pingetensori komponentidega.

4.2 Peapinged

Kuna vaadeldav tetraeeder on lõpmata väike, siis tegelikult võimaldavad valemid (4.5) määrata pingeid keha mis tahes punkti läbival mis tahes kaldpinnal kui on teada pinnanormaal ν ja pinged (pingekomponendid $\sigma_x, \sigma_y, \sigma_z, \tau_{xy}, \tau_{yz}, \tau_{xz}$) seda punkti läbivatel koordinaattasanditel.

Pinnal normaalgiga ν mõjuva pinge saab omakorda jagada normaalpingeks σ_ν ja nihkepingeks τ_ν . Kui on teada pingevektori \mathbf{p}_ν komponendid ja normaali ν suunakoosinused, siis saame leida pingevektori \mathbf{p}_ν projektsiooni normaali ν :

$$\sigma_\nu = \mathbf{p}_\nu \cdot \nu = p_{\nu x}l + p_{\nu y}m + p_{\nu z}n. \quad (4.7)$$

On selge, et vaadeldav projektsioon on samal ajal ka normaalpinge σ projektsioon pinnanormaalil ν ja seetõttu kasutamegi siin tähistust σ_ν . Kasutades valemeid (4.5) saab σ_ν omakorda avaldada koordinaattasandel mõjuvate pingete kaudu.

4.2. Peapinged

4 - 6

Nihkepinge τ_ν kujutab endast pingevektori \mathbf{p}_ν projektsiooni vaadeldaval pinnal ja tema moodul

$$\tau_\nu^2 = p_\nu^2 - \sigma_\nu^2. \quad (4.8)$$

On selge, et nii \mathbf{p}_ν , kui σ_ν ja τ_ν sõltuvad pinna orientatsioonist. Saab näidata, et igas punktis leidub vähemalt kolm omavahel ristuvat pinda, millel nihkepinge $\tau_\nu = 0$ ja normaalpinge $\sigma_\nu = \mathbf{p}_\nu$. Selliseid pindasid nimetatakse *peapindadeks*, neil pindadel mõjuvaid normaalpingeid *peapingeteks* ja neid pindu määravaid pinnanormaale *peasuundadeks*.

4.2.1 Peapingete ja peasuundede leidmise protseduur.

- Tähistame otsitava peapinge σ ja talle vastava pinnanormaali ν suunakoosinused l, m, n .
- Nende nelja tundmatu määramiseks on võrrandsüsteem

$$\begin{cases} (\sigma_x - \sigma)l + \tau_{yx}m + \tau_{zx}n = 0, \\ \tau_{xy}l + (\sigma_y - \sigma)m + \tau_{zy}n = 0, \\ \tau_{xz}l + \tau_{yz}m + (\sigma_z - \sigma)n = 0 \end{cases} \quad (4.9)$$

koos lisatingimusega

$$l^2 + m^2 + n^2 = 1. \quad (4.10)$$

*

- Meid huvitab selle VS-i mittetriviaalne lahend (l, m, n pole korranga nullid). See tingimus on täidetud kui karakteristlik determinant

$$\begin{vmatrix} \sigma_x - \sigma & \tau_{yx} & \tau_{zx} \\ \tau_{xy} & \sigma_y - \sigma & \tau_{zy} \\ \tau_{xz} & \tau_{yz} & \sigma_z - \sigma \end{vmatrix} = 0. \quad (4.11)$$

- Viimasest saadakse omakorda karakteristlik võrrand

$$\sigma^3 - I_1^\sigma \sigma^2 + I_2^\sigma \sigma - I_3^\sigma = 0, \quad (4.12)$$

kus suurused

$$\begin{cases} I_1^\sigma = \sigma_x + \sigma_y + \sigma_z, & I_2^\sigma = \begin{vmatrix} \sigma_x & \tau_{xy} \\ \tau_{xy} & \sigma_y \end{vmatrix} + \begin{vmatrix} \sigma_y & \tau_{yz} \\ \tau_{yz} & \sigma_z \end{vmatrix} + \begin{vmatrix} \sigma_x & \tau_{xz} \\ \tau_{xz} & \sigma_z \end{vmatrix}, \\ I_3^\sigma = \begin{vmatrix} \sigma_x & \tau_{yx} & \tau_{zx} \\ \tau_{xy} & \sigma_y & \tau_{zy} \\ \tau_{xz} & \tau_{yz} & \sigma_z \end{vmatrix}, \end{cases} \quad (4.13)$$

on *pinge invariantid* ehk *pingetensori invariantid*.

4.9. Peapinged

- Uuritaval juhul (st. sümmeetrilise pingetensori korral) on kuupvõrrandil (4.12) kolm reaalarvulist lahendit, mis järjestatakse kahanevas järjekorras $\sigma_1 \geq \sigma_2 \geq \sigma_3$.
- Neile vastava kolme peasuuna määramiseks asendatakse saadud kolm peapinget kordamööda võrrandisüsteemi (4.9)³, (4.10). Tulenusena saame igale peapingele σ_i vastava peasuuna suunakoosinused l_i, m_i, n_i , $i = 1, 2, 3$.
- Peasuundade praktilise leidmise juurde tuleme tagasi näites 4.2.

Sõltuvalt kuupvõrrandi lahendite väärtustest, saab eristada kolme juhtu:

1. Kui kõik kolm peapinget on erinevad, siis saadakse võrrandisüsteemi (4.9), (4.10) lahendamisel kolm ristuvat ühikvektorit.
2. Kui kõik kolm peapinget on võrdsed, siis sobib peapinnaks iga vaadeldavat punkti läbiv pind. Praktilistel kaalutustel valitakse tavaliselt ristuvate pindade kolmik, mis omakorda määrab omavahel ristuvate peasuundade kolmiku.

³Kuna võrrandisüsteemis (4.9) osutuvad vaid 2 võrrandit kolmast lineaarselt sõltumatuteks, siis erineb saadud võrrandisüsteemi lahendamine tavapärasest. Nimelt saame ühe suunakoosinuse vabalt ette anda.

3. Kui kaks peapinget on võrdsed ja kolmas neist erinev, siis saame määrata sellele kolmandale peapingele vastava peasuuna, mis omakorda määrab peapinna. Ülejäänud kaheks peasuunaks sobib mistahes ristuvate suunade paar, mis on omakorda risti kolmanda peasuunaga.

Kasutades peapingeid saame pinge invariantid kujul

$$\begin{cases} I_1^\sigma = \sigma_1 + \sigma_2 + \sigma_3, \\ I_2^\sigma = \sigma_1\sigma_2 + \sigma_2\sigma_3 + \sigma_1\sigma_3, \\ I_3^\sigma = \sigma_1\sigma_2\sigma_3. \end{cases} \quad (4.14)$$

- Kuna invariantid on sõltumatud koordinaatide valikust, tuleb neid vaadelda kui põhilisi suurusi, mis iseloomustavad pinget vaadeldavas punktis — kõik pingekomponendid on määratavad läbi invariantide.

Pinguste liigid. Sõltuvalt sellest, mitu peapinget on nullist erinevad, eristatakse kolme pinguse liikti:

- *ruumpingus* – kõik kolm peapinget on nullist erinevad;
- *tasandpingus* – üks peapinge on null, kaks nullist erinevad;

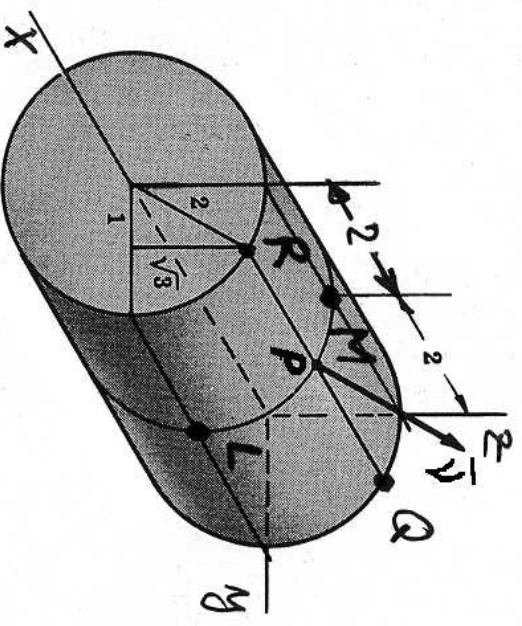
4.2. Peapinged

- *joonpingus* – kaks peapinget on nullid, üks nullist erinev.

Näide 4.1. Pingus keha punktides on antud pingetensoriga (Descartes'i ristkoordinaatides)

$$S = \begin{bmatrix} 3xy & 5y^2 & 0 \\ 5y^2 & 0 & 2z \\ 0 & 2z & 0 \end{bmatrix}.$$

Leida pinge(vektor), mis mõjub silindri külgpinnal $y^2 + z^2 = 4$ punktides P, Q, R, L ja M ning silindri otspindade punktides Q ja R . Lahutage pingektor normaal- ja nihkepingeks.



Joonis 4.2: Silinder raadiusega $r = 2$.

Lahendus. Lahendamisel tuleb kasutada valemeid (4.5), (4.7) ja (4.8).

$$\bar{S} = \begin{bmatrix} 3xy & 5y^2 & 0 \\ 5y^2 & 0 & 2z \\ 0 & 2z & 0 \end{bmatrix}$$

Sylinder $x^2 + z^2 = 4$ alle $\Phi = x^2 + z^2 - 4 = 0$

Sylinder normal: $\bar{J}^* = \text{grad } \Phi = \dots = (0, 2y, 2z)$

übl. normiert $\bar{J} = \bar{J}^*/|\bar{J}^*|$; $|\bar{J}^*| = 2\sqrt{y^2 + z^2}$

Prüfe normal normalisier \bar{J} : $\bar{\mu}_V = \bar{J} \cdot \bar{S}$ Normale valem (2,5)!

* Punkt $P = (2, 1, \sqrt{3}) \rightarrow \bar{J}^* = (0, 2, 2\sqrt{3}) \rightarrow |\bar{J}^*| = 4 \Rightarrow \bar{J} = (0, 1/2, \sqrt{3}/2)$

$$\bar{S} = \begin{bmatrix} 6 & 5 & 0 \\ 5 & 0 & 2\sqrt{3} \\ 0 & 2\sqrt{3} & 0 \end{bmatrix}$$

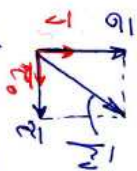
$\bar{\mu}_V = (2, 5; 3, \sqrt{3})$; $|\bar{\mu}_V| = 4, 292$
 $\sigma_V = \bar{\mu}_V \cdot \bar{J} = 3$ a.o. $\bar{\mu}_V$ proj. d. strecken normaliert \bar{J} silber

Normalisierge $\bar{\sigma} = \sigma_V \bar{J}$, vektor maad $\sigma = |\bar{\sigma}| = |\sigma_V|$

Vkt. j. punkt $\bar{\sigma} = 3 \cdot (0, 1/2; \sqrt{3}/2)$ $\bar{\sigma}_0 \sigma = 3$

N. d. strecke $\bar{\tau} = \bar{\mu}_V - \bar{\sigma} = (2, 5; 3; \sqrt{3}) - 3 \cdot (0, 1/2; \sqrt{3}/2) = \dots = (2, 5; 1, 5; -\frac{\sqrt{3}}{2})$

vektor maad $|\bar{\tau}| = \sqrt{\mu_V^2 - \sigma^2} = \sqrt{v_x^2 + v_y^2 + v_z^2} = 5, 04$



* Punkt $Q = (0, 1, \sqrt{3})$ $\bar{S} = \begin{bmatrix} 0 & 5 & 0 \\ 5 & 0 & 2\sqrt{3} \\ 0 & 2\sqrt{3} & 0 \end{bmatrix}$ NB! Krügg. prima punkt
 köstle wun on sonna, wu's punkt's P

* Punkt $R = (4, 1, \sqrt{3})$ / köstg. prima punkt /

$$\bar{S} = \begin{bmatrix} 12 & 5 & 0 \\ 5 & 0 & 2\sqrt{3} \\ 0 & 2\sqrt{3} & 0 \end{bmatrix}$$

Köstle wun on sonna, wu's p.-des $\bar{S} \bar{J} \bar{Q}$

* Punkt $L = (2, 2, 0) \rightarrow \bar{J} = (0, 1, 0)$ $\bar{S} = \begin{bmatrix} 12 & 20 & 0 \\ 20 & 0 & 0 \\ 0 & 0 & 0 \end{bmatrix}$

$\bar{\mu}_V = \bar{J} \cdot \bar{S} = (20; 0; 0) \Rightarrow \mu_V = 20$

$\bar{\tau} = \bar{\mu}_V$ & $\sigma = 0$ Vt. j. p.ans +!

* Punkt $M = (2; 0; 2) \rightarrow \bar{J} = (0; 0; 1)$

$$\bar{S} = \begin{bmatrix} 0 & 0 & 0 \\ 0 & 0 & 4 \\ 0 & 4 & 0 \end{bmatrix}$$

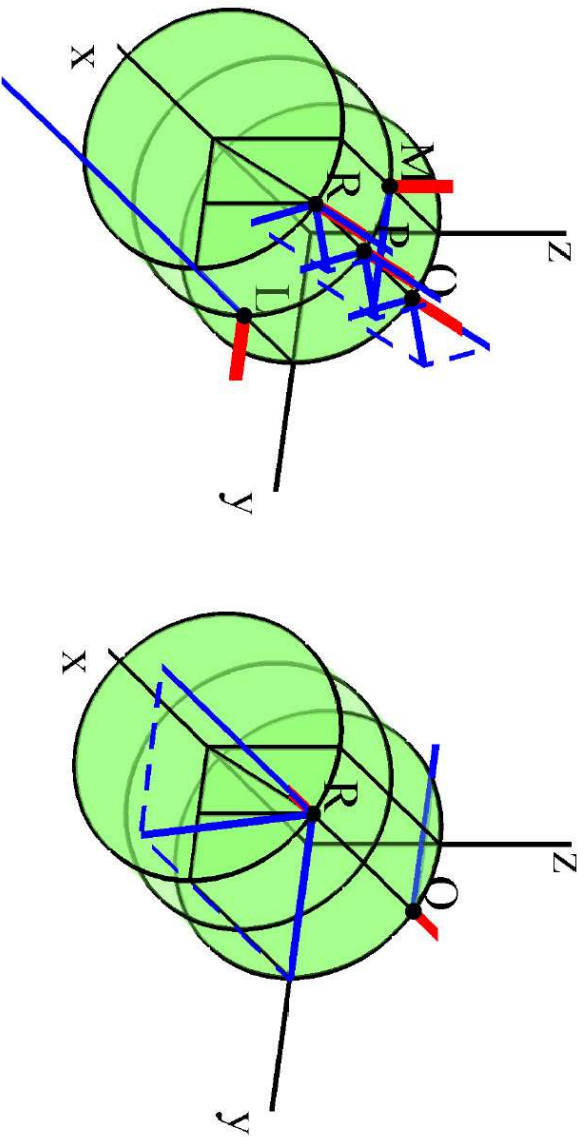
$\bar{\mu}_V = \bar{J} \cdot \bar{S} = (0; 4; 0)$ $\mu_V = 4$

$\bar{\tau} = \bar{\mu}_V$ $\sigma = 0$ Vt. j. p.ans +!

* Punkt $Q = (0, 1, \sqrt{3})$ otk. prima $\Rightarrow \bar{J} = (-1, 0; 0)$

\bar{S} on j. uba köstle $\bar{\mu}_V = (0; -5; 0) \Rightarrow \bar{\tau} = \bar{\mu}_V$ & $\sigma = 0$

* Punkt $R = (4, 1, \sqrt{3})$ otk. prima. \bar{S} on köstle, $\bar{J} = (1, 0, 0)$
 $\bar{\mu}_V = (12, 5, 0) \Rightarrow \bar{\tau} = (0, 5, 0)$



Joonis 4.3: Pingektorid silindri pinnal. Vasakpoolsel joonisel on kujutatud silindri külgpinnal ja parempoolsel joonisel silindri otspinnal mõjuvad pinged. Punased jooned näitavad pinnanormaale ja sinised pingeid.

4.2. Peapinged

4 - 14

Näide 4.2. Leida peapinged ja peasuunad pingetensorile

$$S = \begin{bmatrix} -1 & -16 & -2 \\ -16 & 5 & -14 \\ -2 & -14 & 14 \end{bmatrix}.$$

Lahendus. Antud tlesannet on võimalik lahendada kahel põhimõtteliselt erineval viisil — „käsitsti” ja „arvutiga”.

A. „Käsitsti”.

1. Tuleb koostada võrrandisüsteem (4.9).

$$\begin{cases} (-1-\sigma)\lambda - 16m - 2n = 0 \\ -16\lambda + (5-\sigma)m - 14n = 0 \\ -2\lambda - 14m + (14-\sigma)n = 0 \end{cases} \quad (\otimes)$$

2. Vastava karakteristliku determinandi abil tuleb moodustada karakteristlik võrrand ja leida selle lahendid.

Karakteristlik
determinant

Karakteristlik
kuivõrrand

$$\begin{vmatrix} -1-\sigma & -16 & -2 \\ -16 & 5-\sigma & -14 \\ -2 & -14 & 14-\sigma \end{vmatrix} = 0 \dots \Rightarrow \sigma^3 - 18\sigma^2 - 40\sigma + 4374 = 0 \quad (**)$$

$$(**) \rightarrow \text{kolm lahendit } \sigma = [-18; 27; 9] \rightarrow$$

Viimased ongi peapinged, mis tuleb järjestada kahanevas järjekorras ($\sigma_1 \geq \sigma_2 \geq \sigma_3$).

$$\text{kolm peapinge} \quad \sigma_1 = 27, \sigma_2 = 9, \sigma_3 = -18 \quad ; \quad \underline{\underline{\sigma_1 \geq \sigma_2 \geq \sigma_3}} \quad \checkmark$$

3. Peapinged σ_i ($i = 1, 2, 3$) tuleb asendada ükshaaval võrrandisüsteemi (4.9).

(a) Iga peapinge σ_i jaoks saate kolm võrrandit, millest peab välja valima suvalised kaks. Neisse tuleb asendada näiteks $n_i = 1$ ja leida vastavad l_i ja m_i . Tulemusena saate vektori $\mathbf{N}_i^* = (l_i^*, m_i^*, n_i^*)$, mis määrab peapingele σ_i vastava peasuuna.

4.2. Peapinged

4 - 16

$$\bullet \sigma_1 = 27 \rightarrow (4.9) \rightarrow$$

$$\begin{cases} -28l_1 - 16m_1 - 2n_1 = 0 \\ -16l_1 - 22m_1 - 14n_1 = 0 \\ -2l_1 - 14m_1 - 13n_1 = 0. \end{cases} \quad (4.15)$$

– Neist on vaid kaks lineaarselt sõltumatud:
0,5 * 1. võrrand + 3. võrrand = 2. võrrand.

$$\bullet n_1 = 1 \rightarrow (4.15) \text{ ja hülgame 3. võrrandi}$$

$$\begin{cases} -14l_1 - 8m_1 = 1, \\ -8l_1 - 11m_1 = 7, \end{cases} \quad (4.16)$$

kust saame $l_1 = 0,5$ ja $m_1 = -1$, st. $\mathbf{N}_1^* = (0,5; -1; 1)$

(b) Järgmise sammuna tuleb saadud vektor \mathbf{N}_i^* normeerida, s.t. leida vastav ühikvektor $\mathbf{N}_i = \mathbf{N}_i^* / |\mathbf{N}_i^*|$.

- $|\mathbf{N}_1^*| = 1,5$ ja seega

$$\mathbf{N}_1 = \frac{2}{3} \begin{pmatrix} 1 \\ \frac{1}{2}; -1; 1 \end{pmatrix} = \begin{pmatrix} \frac{1}{3}; -\frac{2}{3}; \frac{2}{3} \end{pmatrix}. \quad (4.17)$$

Kokku saame

$$\sigma_1 = 27 \rightarrow (\infty) \rightarrow \bar{N}_1 = (1/3, -2/3, 2/3)$$

$$\sigma_2 \rightarrow (t) \rightarrow \bar{N}_2 = (-2/3, 1/3, 2/3)$$

$$\sigma_3 \rightarrow (\infty) \rightarrow \bar{N}_3 = (2/3, 2/3, 1/3)$$

4. Peale peasuundade leidmist tuleb kontrollida, kas nad moodustavad parema käe kolmiku, s.t. kas $\mathbf{N}_3 = \mathbf{N}_1 \times \mathbf{N}_2$.

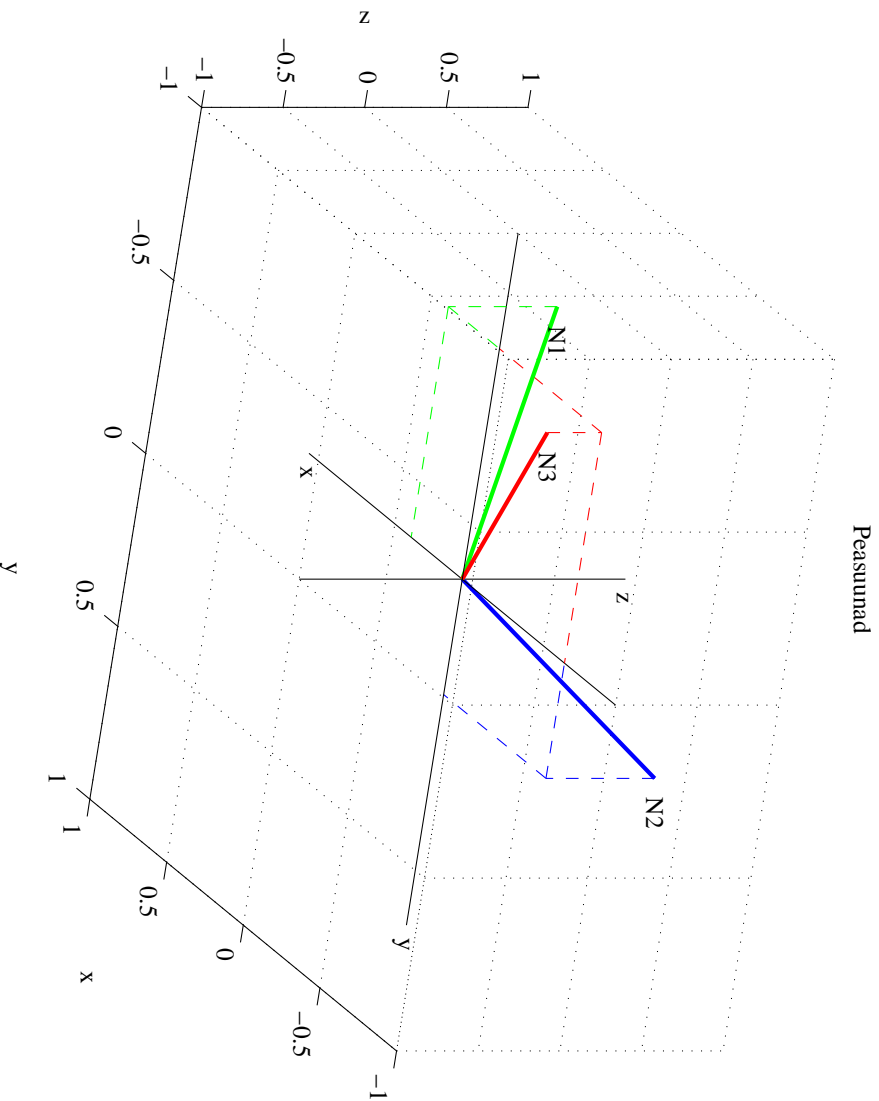
- Kui $\mathbf{N}_1 = (l_1, m_1, n_1)$ ja $\mathbf{N}_2 = (l_2, m_2, n_2)$, siis

$$\mathbf{N}_1 \times \mathbf{N}_2 = \begin{Bmatrix} |m_1 & n_1| & |n_1 & l_1| & |l_1 & m_1| \\ m_2 & n_2 & n_2 & l_2 & |l_2 & m_2| \end{Bmatrix}. \quad (4.18)$$

Parema käe kolmiku kontroll: $\bar{N}_3 = \bar{N}_1 \times \bar{N}_2 = (-2/3, -2/3, -1/3)$

Seega tuleb peasuundadeks valida

$$\mathbf{N}_1 = \begin{pmatrix} 1 \\ 3 \\ 3 \end{pmatrix}; -\frac{2}{3}; \frac{2}{3} \Bigg), \quad \mathbf{N}_2 = \begin{pmatrix} 2 & 1 & 2 \\ -3 & 3 & 3 \end{pmatrix}, \quad \mathbf{N}_3 = \begin{pmatrix} -2 & -2 & -1 \\ -3 & -3 & -3 \end{pmatrix}. \quad (4.19)$$



Joonis 4.4: Peasuunad

$$S = \begin{bmatrix} -1 & -16 & -2 \\ -16 & 5 & -14 \\ -2 & -14 & 14 \end{bmatrix}$$

$$(2, 14) \rightarrow \begin{cases} (-1-\sigma)u & -16v & -2w & = 0 \\ -16u & (5-\sigma)v & -14w & = 0 \\ -2u & -14v & (14-\sigma)w & = 0 \end{cases} \quad (*)$$

Karakteristliku
determinant

Karakteristliku
kuupvõrrand

$$\begin{vmatrix} -1-\sigma & -16 & -2 \\ -16 & 5-\sigma & -14 \\ -2 & -14 & 14-\sigma \end{vmatrix} = 0 \dots \Rightarrow \sigma^3 - 18\sigma^2 - 405\sigma + 4374 = 0 \quad (**)$$

$$(**) \rightarrow \text{kolm lahendit } \sigma = [-18; 27; 9] \rightarrow$$

$$\rightarrow \text{kolm peavõrrandit } \sigma_1 = 27, \sigma_2 = 9, \sigma_3 = -18 \quad ; \underline{\underline{\sigma_1 \geq \sigma_2 \geq \sigma_3}}$$

$$\sigma_i \leftrightarrow \text{peasuund } \bar{N}_i: \quad \sigma_1 = 27 \rightarrow (*) \rightarrow \bar{N}_1 = \left(\frac{1}{3}, -\frac{2}{3}, \frac{2}{3} \right)$$

$$\sigma_2 \rightarrow (*) \rightarrow \bar{N}_2 = \left(-\frac{2}{3}, \frac{1}{3}, \frac{2}{3} \right) \quad \sigma_3 \rightarrow (*) \rightarrow \bar{N}_3 = \left(\frac{2}{3}, \frac{2}{3}, \frac{1}{3} \right)$$

$$\text{Peasuna k\u00e4e kolmnurk kontroll: } \bar{N}_3 = \bar{N}_1 \times \bar{N}_2 = \left(-\frac{2}{3}, -\frac{2}{3}, -\frac{1}{3} \right)$$

4.2. Peepinged

B. „Arvutiga”

1. Sisestada pingetensori maatriks.
2. Leida peav\u00e4rtused ja peasuunad.
 - Harilikult on selleks k\u00e4sk `eig` (*eigenvalues*).
3. J\u00e4rjestada peav\u00e4rtused ja peasuunad \u00fcmber nii, et $\sigma_1 \geq \sigma_2 \geq \sigma_3$.
 - Kuna peav\u00e4rtustega koos tuleb \u00fcmberj\u00e4rjestada ka peavektorid, siis tuleb tihti muuta arvutist saadud peavektori N_3 orientatsioon selliseks, et $N_3 = N_1 \times N_2$.

J\u00e4rgnevalt vaatleme, kuidas k\u00e4ib peav\u00e4rtuste ja peasuundade leidmine Matlabi abil.

```
>> % Pingetensor S
S = [-1 -16 -2; -16 5 -14; -2 -14 14]
S =
    -1    -16    -2
   -16     5   -14
    -2   -14    14
```

Pea- ehk omaväärtusi saab leida nii ilma kui koos peasuundadega

```
>> % omaväärtused
eig(S)
ans =
   -18
     9
    27

>> % omaväärtused ja omavektorid
[V,D]=eig(S)
V =
   -2/3    -2/3    1/3
   -2/3    1/3   -2/3
   -1/3    2/3    2/3

D =
   -18     0     0
     0     9     0
     0     0    27
```

Maatriksis V on peavektorid esitatud veergudes.

4.9. Peapinged

Peaväärtused peavad olema järjestatud kahanevalt:

```
>> % omaväärtuste ja omavektorite ümberjärestamine, antud juhul 3<->1
D(1,1)=27;   D(3,3)=-18;
NN=V(:,1);  V(:,1)=V(:,3);  V(:,3)=NN;
D,V
D =
    27     0     0
     0     9     0
     0    -18    0

V =
    1/3   -2/3   -2/3
   -2/3    1/3   -2/3
    2/3    2/3   -1/3
```

Peasuunad peavad moodustama parema käe kolmiku:

```
>> % Kontrolli: N3=N1xN2
cross(V(:,1),V(:,2))
ans =
   -2/3
   -2/3
   -1/3
```

Antud juhul oli see tingimus automaatselt täidetud.

4.3 Peadeformatsioonid

Peasuundi ja peaväärtusi saab leida mistahes teist järku tensoritele. Kuna deformatsioonitensor ja pingetensor on sümmeetrilised tensorid, siis on peadeformatsioonide leidmise protseduur analoogiline peapingete omaga. Antud juhul saame seega deformatsioonitensorile

$$\begin{bmatrix} \varepsilon_x & \frac{1}{2}\gamma_{xy} & \frac{1}{2}\gamma_{xz} \\ \frac{1}{2}\gamma_{yx} & \varepsilon_y & \frac{1}{2}\gamma_{yz} \\ \frac{1}{2}\gamma_{zx} & \frac{1}{2}\gamma_{zy} & \varepsilon_z \end{bmatrix} \quad (4.20)$$

anda kuju

$$\begin{bmatrix} \varepsilon_1 & 0 & 0 \\ 0 & \varepsilon_2 & 0 \\ 0 & 0 & \varepsilon_3 \end{bmatrix}, \quad (4.21)$$

misjärel deformatsioonitensori invariantid

$$I_1^\varepsilon = \varepsilon_1 + \varepsilon_2 + \varepsilon_3, \quad I_2^\varepsilon = \varepsilon_1\varepsilon_2 + \varepsilon_2\varepsilon_3 + \varepsilon_1\varepsilon_3, \quad I_3^\varepsilon = \varepsilon_1\varepsilon_2\varepsilon_3. \quad (4.22)$$